

〈冶金译丛〉

金属压力加工

第一辑

冶金译丛编译委员会

上海市科学技术编译馆

53
2

冶金译丛
金属压力加工
第一辑
冶金译丛编译委员会

*

上海市科学技术编译馆出版
(上海南昌路59号)

上海市印刷六厂印刷 新华书店上海发行所发行

*

开本 850×1156 毫米 1/32 印张 8 字数 240,000
1966年5月第1版 1966年5月第1次印刷
印数 1—6,000

编号 15·376 定价(科七)1.35元

內容提要

本專輯着重介紹有關高溫合金的塑性變形和鍛軋工藝、挤压
金屬的生產技術及其發展趨勢、薄帶軋制、冷軋異型管和各種鋼絲
的生產工藝的資料。

本專輯刊載譯文二十二篇，可供軋鋼專業的技術人員、科研人
員以及鋼鐵學院和技校師生參考。

目 录

1. 軋制热强合金的变形抗力	1
2. ЭИ 437 БУ 合金鍛造工艺的改善	7
3. ЭИ 437 合金的塑性	14
4. ЭИ 435 合金的塑性	21
5. 高合金鋼和合金鑄錠鍛造溫度範圍的確定	26
6. 難變形合金鑄態組織轉變為變形組織所需的變形量	32
7. 鋼挤压的发展 (一)	36
8. 鋼挤压的发展 (二)	52
9. 難熔金屬的挤压	85
10. 用玻璃潤滑劑挤压鋼材的发展	97
11. 冷挤压模具的設計因素	100
12. 薄帶軋制 (一)	126
13. 薄帶軋制 (二)	150
14. 級箔片生產	176
15. 影響不銹鋼板表面質量的各種因素	181
16. 冷軋異型管	187
17. 不對稱斷面異型管生產的掌握	198
18. 冷軋異型管時變形的不均勻性	212
19. 用輶式拉模生產小尺寸異形鋼絲	215
20. 高強度鍍黃銅鋼絲生產過程的改進	221
21. 制針鋼絲生產工藝過程的改進	226
22. 硬質合金拉拔模具的分析和計算	235

1. 軋制热强合金的变形抗力

М. Л. Зарощинский 等

近年来，在机器制造工业中采用热强材料已越来越频繁。飞机、直升飞机、内燃机车等的零件必须用热强材料制造。可是，由于热强合金几乎都具有低塑性和高变形抗力的特点，因此给压力加工带来了很大的困难。

为了设计轧制的工艺方案，必须具有计算金属在轧辊上的压力的原始资料。

金属在轧辊上压力的理论计算是一项复杂的任务，尤其在轧制热强钢时，压力的计算必须仔细考虑到外摩擦、变形速度、压下量和温度的影响。可是许多热强合金的这些指标完全是不清楚的。

目前，利用轧制普通结构钢的设备来轧制热强合金。

在轧制热强合金的生产条件下，一般地说，还未看到有关发生过载方面的资料。因此，有时所使用的设备负荷不够，有时却负荷过大。例如，在《电炉钢》厂曾有过连接套筒、工作辊以及轧机损坏的情况^[1]。

因此轧制热强合金时变形抗力方面的实验数据具有特别重要的意义。

为了确定真实的负荷，《电炉钢》厂在《600》轧机上轧制热强合金 ЭИ 661、ЭИ 867、ЭИ 929、ЭИ 435、ЭХ 20Н80 和其他热强合金时，测量了金属在轧辊上的压力。在轧制热强合金时采用了两种不同的孔型设计。第一种孔型设计是用来轧制 ЭИ 602、ЭИ 435、ЭХ 20Н 80、ЭИ 221 以及 У 8、65 Г、30 ХГСА 和某些其他类型的高合金和碳素钢的，第二种孔型设计是用来轧制热强合金以及高速切削合金用的（图 1）。

合金钢锭重量和尺寸、轧制温度、钢坯的终断面和道次经研究后列于表中。

金属在轧辊上的压力是用带有金属丝变形测定器的测压计测定。

因为研究工作是在三辊轧机上进行的，所以把测压计安置在压下螺栓的下面，以便轧制时在上、中轧辊之间进行测量，又将测压计安置在下轧辊的下面，以便轧制时在中、下轧辊间进行测量。

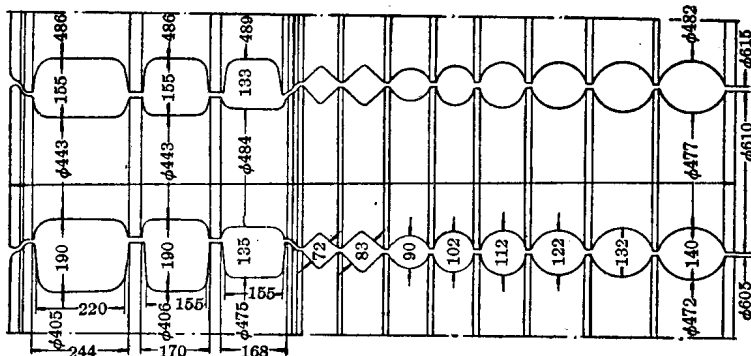


图 1 轧制截面 230 毫米的高速切削钢和硬质合金钢锭的轧辊孔型设计

鋼号	錠重 (公斤)	銅錠尺寸 (毫米)	終截面 (毫米)	軋制温度 (°C)	通过道次
ЭР-18	200	220×160×640	80	1125~1065	17
ЭР-9	275	235×150×750	80	1100~1030	17
ЭИ-661	90	140×140×500	90	1100~1070	13
ЭИ-661	165	160×115×800	90	1100~1070	17
ЭИ-867	90	140×140×500	90	1100~1060	13
ЭИ-867	165	160×115×800	90	1100~1060	17
ЭИ-929	90	140×140×500	90	1100~1060	13
ЭИ-827	90	130×130×500	80	1130~1030	13
ЭИ-826	90	130×130×500	80	1130~1030	17
30ХГСА	450	290×230×890	100	1050~1030	11
370С2ХА	450	290×230×890	100	1050~1030	11
У8А	480	290×230×890	90	1060~1030	11
65Г	480	290×230×890	100	1050~1030	11
ЭИ-435	450	290×230×890	120	1150~1100	15~17
ЭСВХ20Н10Г6(678)	450	290×230×890	120	1100~1050	9~11
Х20Н80	420	290×230×890	90	1100~1050	17~19
ЭИ-211(ЭХ20Н14С2)	160	170×120	90	1080~1030	7~9*
ЭИ-602	450	280×230×890	120	1180~1080	13~11

* 錛坏

曾使用 $d:h=0.7$ 的鋼制圓柱体作为压下螺絲下面的測压計。

为了测量中、下軋輥之間在軋制时的压力，使用下軋輥升降調節楔作为測压計，在楔壁上考虑了粘貼变形測定器的地方。

用安装在軋机窗口上的液压千斤頂来校准測压計。千斤頂所产生的压力用精密的压力計来測定，而变形測定器的讀数通过 ЭТ-4-54 电子線路系統，在 МПО-2 电磁示波器底片上記錄下来。

用測压計測压精确于用粘貼在机架上的变形測定器的測压，因为在后一种情况下，校准和实測条件不一样。在校准时測定的只是垂直压力，而在軋制时，由于軋輥直徑的差异而又出現水平分力。这一点已被實驗算所証实^[2]。

在試驗时，用 ОППИР 光学高温計来測量軋制温度。測量压力时，每种鋼号不少于 10 支鋼錠。这就得到近 2000 个波形图（在每一波形图上記錄一个道次）。

金属对軋輥压力測量的結果示于图 2。分析所得到的結果表明，第一类合金最难变形的是 ЭИ 661 型合金。在 11H 和 3H 孔型中軋制时，出現最大的壓力，这是由于压缩率高和接触面积大的緣故。

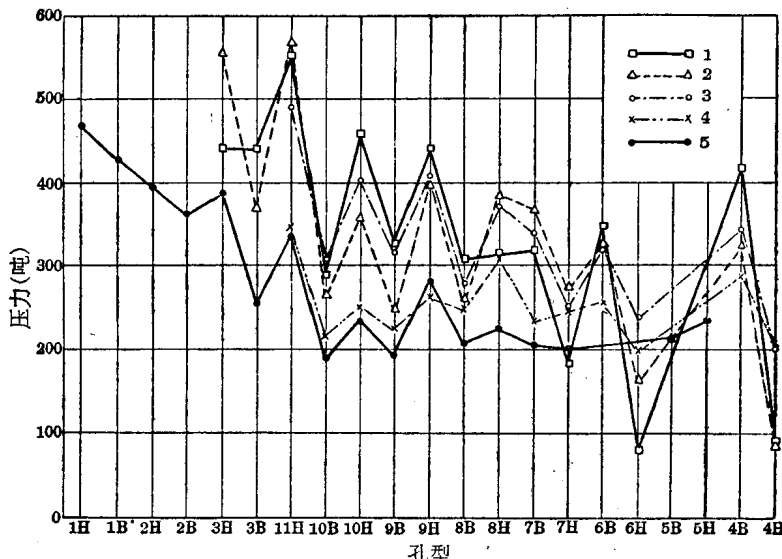


图 2 軋制热强合金的压力图表

1—ЭИ867，錠重 165 公斤； 2—ЭИ661，錠重 165 公斤； 3—ЭИ661，錠重 90 公斤； 4—ЭИ929，錠重 90 公斤； 5—ЭР-9，錠重 275 公斤

也用同一孔型来轧制 ЭР-9 合金时的压力值作比较。根据这些条件，ЭИ661 合金的变形抗力几乎高出 ЭР-9 合金的一倍。

在轧制第二类合金时，ЭИ435 合金具有最大压力，达到 450 吨。

ЭХ 20 Н 80 合金的变形抗力与 ЭИ 435 合金近似。

在其他条件相同的情况下，压力数值较之更低乃是轧制高合金钢（У8А、30ХГСА、65Г等）的特点。为概括变形抗力，曾建立下面关系式：

$$P_{\text{平均}} = f\left(\frac{l}{h_{\text{平均}}}\right)$$

式中： $P_{\text{平均}}$ ——平均单位压力；

l ——变形区长度，毫米；

$$h_{\text{平均}} = \frac{h_0 + h_1}{2}, \text{ 毫米}$$

在轧制某些合金时，通过样板作图法求出接触面积。因为在轧制时发生轧辊的偏斜和椭圆孔型中零件扭转，这就使按孔型图计算的接触面积与实际不相符合。

第一类热强合金和高速切削合金的 $P_{\text{平均}} = f\left(\frac{l}{h_{\text{平均}}}\right)$ 关系列于图 3，而第二类热强合金和高碳钢的列于图 4。

研究这些关系之后，可以得出以下结论：

1. 关系式 $P_{\text{平均}} = f\left(\frac{l}{h_{\text{平均}}}\right)$ 对于热强合金在 $\frac{l}{h_{\text{平均}}} \approx 0.5$ 时有最小值，关系

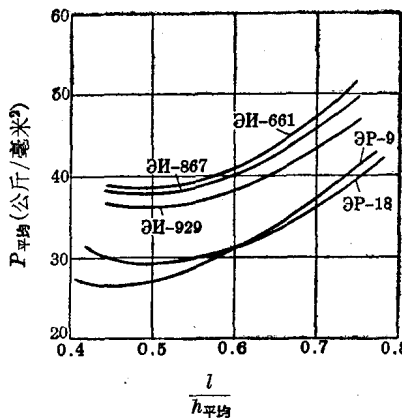


图 3 热强合金和 ЭР-9、ЭР-18 钢的 $P_{\text{平均}} = f\left(\frac{l}{h_{\text{平均}}}\right)$ 关系

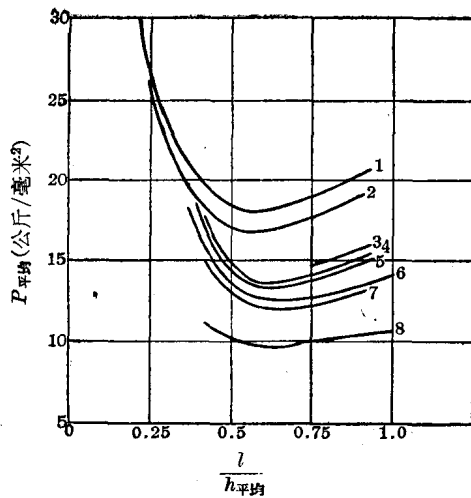


图4 热强钢和高合金钢的 $P_{\text{平均}} = f\left(\frac{l}{h_{\text{平均}}}\right)$ 关系

1—ЭИ-435(轧制温度, $t=1150\sim1100^{\circ}\text{C}$)； 2—ЭХ20Н80($t=1100\sim1050^{\circ}\text{C}$)；
3—ЭИ-221($t=1080\sim1050^{\circ}\text{C}$)； 4—ЭСВХ20Н10Г6($t=1050\sim1030^{\circ}\text{C}$)； 5—
30ХГСА($t=1050\sim1030^{\circ}\text{C}$)； 6—970С2ХА($t=1050\sim1030^{\circ}\text{C}$)； 7—65Г($t=$
 $1050\sim1030^{\circ}\text{C}$)； 8—У8А($t=1060\sim1030^{\circ}\text{C}$)

式 $P_{\text{平均}} = f\left(\frac{l}{h_{\text{平均}}}\right)$ 对于高碳钢在 $\frac{l}{h_{\text{平均}}} = 0.6 \sim 0.7$ 时有自己的最小值。最小值的位置不一样可以理解为摩擦条件不同。摩擦系数越小，则最小值越接近 $l:h_{\text{平均}} = 1$ ^[3]。

2. 在一定的温度、变形速度和压下量 σ_{ϕ} 的条件下，曲线沿纵轴的分布取决于金属单向变形时的抗力。

3. 在 $l:h_{\text{平均}} = 0.4 \sim 0.7$ 的条件下轧制是最有利的。这时平均单位压力最小。

关系式 $P_{\text{平均}} = f\left(\frac{l}{h_{\text{平均}}}\right)$ 不仅可以应用在该轧机的金属对轧辊的压力计算，而且也可应用于其他轧机(其中包括重新设计的轧机)。

当没有宽展或宽展很小时， $P_{\text{平均}} = f\left(\frac{l}{h_{\text{平均}}}\right)$ 是一个综合关系式，因为它考虑到轧辊的尺寸、压下量和轧制速度。

事实上，Г. Валквист^[4] 在轧辊直径为340毫米的轧机上轧制16个钢种样品，其宽度为50毫米，厚2.5, 5, 10和20毫米，压下量为10, 20, 30和

40%，在温度为 800, 900, 1000 和 1100°C 的条件下进行了材料試驗。試驗結果表明，关系式 $P_{\text{平均}} = f\left(\frac{l}{h_{\text{平均}}}\right)$ ，对于不同厚度的軋件实际上都符合（高温下）。例如，对碳素鋼而言，在 1100°C 的条件下，对厚度为 2.5 毫米和 20 毫米的軋件（在 $l:h_{\text{平均}}=2.0$ 的条件下，以 10% 压下量軋制时）， $P_{\text{平均}}$ 的数值比实际情况小 10%，而在 $l:h_{\text{平均}}$ 的比值較小的情况下，则与实际情况是相符合的。

对于高速切削鋼 P-18 而言，这个差值稍为大一点。可是應該考慮到細薄軋件的溫度損耗是很快的。

在劳特（Лаут）軋机和莫斯科包伍曼技术学校輥徑为 160 毫米的实验室軋机上，在軋制与此相同的合金时，所得到的 $P_{\text{平均}} = f\left(\frac{l}{h_{\text{平均}}}\right)$ 关系式，与在“600”軋机上在相同温度与相同速度制度下所得的完全相符。

参考文獻

- [1] М. Л. Зарощинский, В. М. Лушников, Г. С. Никитин. Исследование силовых условий при прокатке слитков малопластичных сплавов. «Изв. высш. учебн. завед.», 1959, № 11.
- [2] Экспериментальное определение силовых параметров при прокатке специальных сплавов на стане «600» и 12-клетьевом непрерывном стане ЦКБММ-17. Отчет по теме № 3511.
- [3] М. Л. Зарощинский, Г. С. Никитин. Определение давления металла на валки при прокатке жаропрочных сталей (печатается).
- [4] Г. Валквист. Исследование энергосиловых параметров при горячей прокатке металла. Металлургиздат. 1957.

宋超池譯

原載《Новые процессы обработки металлов давлением》

1962 年, 44~48 頁

2. ЭИ437Бу 合金鍛造工艺的改善

Б. Н. Наэаринов 等

大多数现代的鉻鎳热强合金，在进行压力加工时出現較低塑性。

引起破裂的原因之一是在变形金属的个别地方出現拉应力，它对此类合金特別有害，因为晶界聚集了杂质、碳化物和不同的固相，引起了晶界键的削弱。

对某些热强合金的塑性变形进行多次研究，查明了这种合金的变形条件根本区别于一般結構鋼压力加工条件。和一般合金比較，热强合金具有以下特点：

1. 变形抗力較大，这与較大塑性变形应力以及需要功率較大的设备(鍛錘、压力机、操纵机等)有关；
2. 再結晶温度高速度小，这造成在高温下的显著强化。这导致变形抗力提高，塑性降低，变形不均匀性增加和引起局部再結晶；
3. 当耐热合金中有如硫、鋁和錫等的化合物存在时晶界和亚晶键的减弱。而这些化合物引起塑性降低(特别是在高温下)；
4. 导热率低，要求采用特殊的加热条件；
5. 鍛造温度范围窄，导致加热次数增加，加热炉的位置必須尽可能靠近鍛錘或压力机，必須将工具預热到 150~400°C，和使用生产能力較高的工具，特别是在缺口砧上和切口形状对称的菱形砧上进行延伸操作，須使用特殊的夹具将金属夹住，并从炉子到鍛錘来回运送；
6. 当金属氧化皮的去除不良时，有少量氧化皮存在；
7. 金属的价格高；
8. 鋼錠中有較明显的軸向收縮缺陷，但这些缺陷可通过以下方法减少：
 - 1) 采用錐度大的鋼錠，以及減小高度与直徑之比；
 - 2) 鍛造时增加送进量，从而保証鍛得更透以及保証内部缺陷的焊合。

为改善鍛件的质量、金属的致密性以及内部缺陷的焊合，要尽可能在較明显的各向压缩下进行鍛造，而且要避免这样的变形方案，即在鍛件的个别地区

产生显著的拉应力。这些应力，当其与相同符号的变形一致时特别有害。

在选择砧头的形状时，要尽可能在变形过程中，特别是在钢锭铸造组织变形的开始时，保证砧与钢锭（钢坯）之间最大的接触。

实际采用的延伸用砧（考虑了钢坯的形状），是根据其对锻造机械系统影响恶化的程度排列，如图1所示。根据在被加工钢坯断面上排列的滑移线网，可以判断断面上变形的扩展情况、塑性平衡区的位置以及可能出现拉应力的区域。

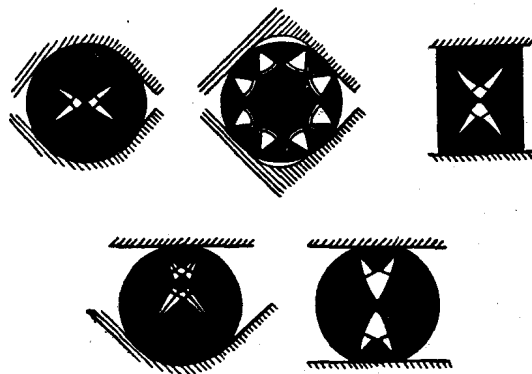


图1 在不同形状的砧上延伸坯料的示意图

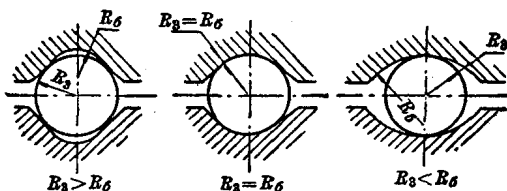


图2 在缺口砧中坯料变形的示意图

在缺口砧上延伸坯料时，以下两点有很大意义：1) 以包角 α 、顶的半径和宽度表示的砧的切口形状；2) 砧半径 R_g 和坯料半径 R_s 之比。

圆坯料在缺口砧上变形时，可能出现三种不同方案（图2）： $R_s > R_g$ ； $R_s = R_g$ ； $R_s < R_g$ 。 $R_s = R_g$ 的方案是最合理的，但在实际中很少出现，因为它只适合于一种尺寸的圆坯料和不大的压缩量。

研究方案 $R_s > R_g$ 和 $R_s < R_g$ 可以看出，在第一种情况下创造了比较有利的锻造力学条件，特别是在缺口顶点处砧和坯料间原来的间隙不大和一定的

包角时。在实际中采用同一种缺口砧来对不同直径圆锭和圆坯料进行变形。所以在缺口砧上进行锻造时，三种方案都可采用。

方案 $R_s < R_d$ 在延伸时，特别在坯料翻转 90° 之后用得最多。这时通过百分之几的相对压缩之后，坯料和砧的接触显著地增加，应力状态和变形状态变得更为有利。

塑性金属变形时，平砧或包角不大的圆砧是较好的工具。如果变形的合金塑性低，则包角相当大的包容孔型是较好的工具系统。热强合金在压力加工时，塑性降低的原因之一是沿着延伸变形的方向有拉应力区存在。所以必须有这样的工艺系统，在此系统下使拉应力最小或完全没有。

在 Челябинск 冶金厂进行了改善 700 公斤重、锥度为 10.8% 的 ЭИ437БУ 合金钢锭的锻造工艺的研究。

ЭИ437БУ 合金属于奥氏体类，根据 ЧМТУ/ДНИИЧМ874-63（中央黑色冶金科学研究所的技术条件 874-63），化学成份如下：

C	Si	Mn	Cr	Ni	Ti	Al
不大于 0.07	不大于 0.65	不大于 0.40	19~22	基体	2.5~2.9	0.6~1.0
Ca	B	Fe	Cu	Pb	S	P
不大于 0.01	不大于 0.01	不大于 1.0	不大于 0.07	不大于 0.001	不大于 0.007	不大于 0.015

研究的目的在于以新的更完善的工艺将锭重 700 公斤、锥度 10.8% 的 ЭИ437БУ 合金锻成 220 毫米圆，以代替锻成 200 毫米方的工艺，以保证改善锻件和成品构件的低倍组织，提高机械性能和持久强度。

研究是在实验室条件下进行的，但所得的结果在生产条件下用 1 炉试炼的和 12 炉生产的 ЭИ437БУ 合金进行复验。

在实验室条件下，曾在 ЛПЗ-67 型 50 公斤的碱性感应炉中熔炼了 5 炉 ЭИ437БУ 合金（每炉浇 4 支钢锭）。钢水被注入锥度为 10.8% 的模中。钢锭重 10 公斤。钢锭的外形与 700 公斤重的钢锭相似，但具有柱状结晶区的低倍组织，此结晶几乎延伸到钢锭的轴心。为了去除表面缺陷，所有的钢锭都用车床进行剥皮。

在煤气单室炉中进行钢锭的加热，用 0.4 吨重的气锤进行锻造。钢锭装炉温度不超过 750°C 。锻造前（在炉中）钢锭的温度为 1160°C 。钢锭开始锻造的温

度(在砧上)为 $1100\sim1080^{\circ}\text{C}$ 。鋼錠(在砧上)終鍛溫度为 $900\sim950^{\circ}\text{C}$ 。鋼錠在寬100毫米、具有不同缺口形状上锤和下锤的砧上进行鍛造。

鍛压比相当于把700公斤鋼錠鍛成200毫米方坯的鍛压比。

曾試驗了下列各种砧: 1) 上下平砧; 2) 上部平, 下部带有 $\alpha_2=100^{\circ}, 105^{\circ}, 110^{\circ}$ 的缺口砧; 3) 上部和下部带有 $\alpha_1=105^{\circ}, \alpha_2=105^{\circ}$ 的缺口砧; 4) $\alpha_{1,2}=90\sim150^{\circ}$ 角的各种砧。

700公斤重的鋼材示于图3, 鍛造10公斤鋼錠用的砧的示意图示于图4。

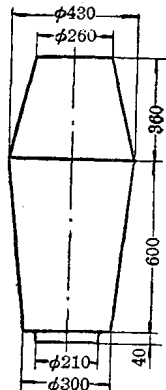


图3 700公斤重鋼材

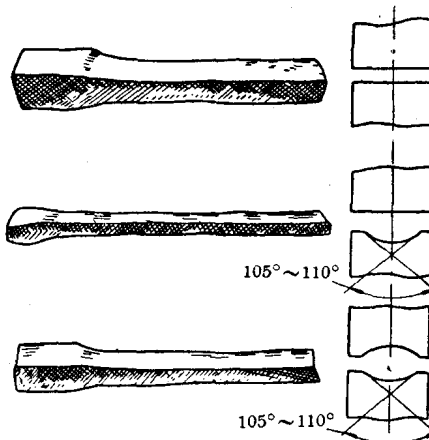


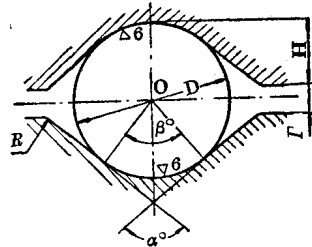
图4 鍛造10公斤鋼錠用的砧的示意图

为闡明金属的应力和变形状态与砧形状的关系, 进行了重15公斤、錐度为10.8%的鉛錠的鍛造試驗。鉛錠由两块用伍德(Вуда)易熔合金粘接的矩形板車成, 而在其中的一块板上事先画好了坐标格子。鋼錠的延伸是在寬100毫米带有不同缺口角的干鋼砧之間进行。在变形之前, 鋼錠是这样安放的: 要使有坐标格子的焊接面垂直, 并通过砧的对称面。然后翻轉 90° 等。

根据實驗室研究和对錐度为10.8%的700公斤重的工业鋼錠鍛造計算的結果, 选择了缺口角为 105° 的缺口砧。

在Челябинск冶金工厂, 为落下部分重7吨的鍛锤制备了缺口角为 105° 的缺口砧(图5), 并鍛造了試炼的ЭИ437Б合金(8支鋼錠)。

700公斤重的鋼錠在連續式煤气加热炉中进行加热。装錠时炉子尾部溫度为 400°C , 在均温段为 1160°C 。鍛造的溫度範圍为 $1050\sim930^{\circ}\text{C}$ (在砧上)。鋼錠經一次加热而鍛成直徑为230~270毫米圓。将2支鋼錠再加热, 并在缺



名 称	<i>D</i>	α°	β°	<i>F</i>	<i>H</i>	<i>R</i>
断 面 I	200~220	110	70	0~20	100	25
断 面 II	200~220	105	75	0~20	100	25
断 面 III	200~220	100	80	0~20	100	25

图 5 工业用缺口砧的示意图

口砧上锻成 200 毫米圆。将所有锻造过的坯料粗表面进行超声波检验，没有发现缺陷。还检验了锻棒尾部、中部和头部的低倍组织。

圆断面和方断面锻件进行比较表明，在缺口砧上锻造时，即使当钢锭的压缩量比较小时，低倍组织也是比较均匀和晶粒细小。

将锻造了的直径为 200~270 毫米的圆棒切成坯料，并放在落下部分重 6 吨的锻锤上，以相对变形率 $\epsilon \approx 70\%$ 进行镦粗。开始操作前锻锤的砧预热到 250°C。一火就完成镦粗。镦粗了的圆盘进行空冷，并进行超声波检验。没有发现内部缺陷。进一步将所有的圆盘在两个直径方向上检验低倍组织。这时在圆盘的整个断面上呈现出均匀的细晶粒组织。

根据上述研究的结果，以 12 炉批投入工业性的生产。合金是在 5 吨容量的电弧炉中进行熔炼。钢锭经剥皮之后，将可浇 8 支 700 公斤钢锭的每炉钢分成两部分，要使每一部分由第一锭盘和第二锭盘各两支钢锭组成。因此，所有双号钢锭用作锻造 220 毫米圆形，而单号钢锭用作锻造 220 毫米方形。

钢锭在连续式和室式煤气炉中按现行的工艺进行加热。钢锭加热到极限温度 $1160 \pm 20^\circ\text{C}$ 的总加热时间在 20~25 小时之间，其中在高温段为 5~7 小时。终锻温度不低于 900°C。单号钢锭给予预热，锻成方形，而双号钢锭不预热，锻成圆形。用落下部分重 7 吨的锤，在宽 300 毫米的平砧和缺口砧上进行锻造，后者的缺口角 $\alpha = 105^\circ$ 。

旧和新的锻造钢锭的工艺流程示于图 6。钢锭的锻造以送进量 (0.5 ~ 0.8) A 从头部开始, 这里 A 为压缩断面的厚度。

在合金的试制期, 重量为 700 公斤的钢锭按示意图 a 进行锻造 (持出 3 次)。由于掌握了锻造工艺、减少了辅助操作和重体力操作的机械化, 就采纳了图 6 中 b 的钢锭锻造工艺(持出 2 次)。

被推荐并试验的重量为 700 公斤的钢锭在缺口砧上锻造的工艺方案相当

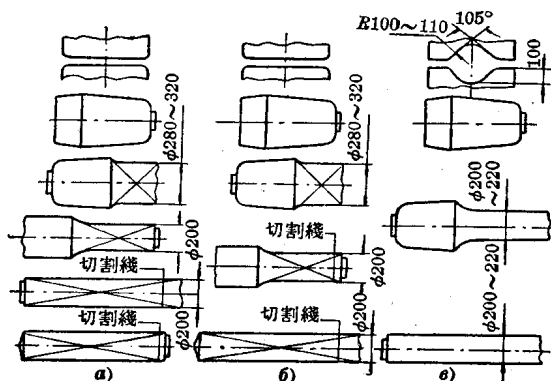


图 6 铸重 700 公斤的旧和新的锻造工艺图

于方案 b。一次加热锻成 220 毫米圆形，并从钢锭头部开始。然后在砧上转动钢锭和锤打尾部。锻造过的棒的头部和尾部在阳极机械切削机床上进行修整。

锻造时进行的观察指出, 一次加热的钢锭变形过程进行得完全正常。锻造温度范围 1050~900°C (在砧上)对完成这一过程是完全足够了, 何况在缺口砧上头部和尾部不用精整的锻造过程。锻造过程中, 钢锭金属的加热比在平砧上锻造时要强烈, 而且由于沿周边各方向的压缩轴向延伸就增加。

所有锻造棒材进行超声波检验, 头部和尾部进行低倍组织检验。机械性能和持久强度, 是按工厂采用的工艺以锻成 90 毫米方的试样来进行测定。锻造和空冷后的试样按下列制度进行热处理: 1) $1080 \pm 5^\circ\text{C}$ 淬火, 保温 8 小时, 空冷; 2) $750 \pm 5^\circ\text{C}$ 时效, 保温 16 小时, 空冷。

其中一炉的机械性能和持久强度的范围列于表中。从表中看出, 金属的性能满足高要求的技术条件。从圆坯取得的金属的性能略优于或相等于从方坯得到的金属的性能。

12 炉工业性生产的 ЭИ437БУ 合金的机械性能和持久强度
(Челябинск冶金厂)

σ_b (公斤/ 毫米 ²)	σ_s (公斤/ 毫米 ²)	δ (%)	ψ (%)	a_k (公斤·厘米/ 厘米 ²)	d_{omn}^{**} (毫米)	σ^*	粗晶粒 (級)
坯 料 断 面							
圓	方	圓	方	圓	方	圓	方
101	98	72	73	17	18	18	16
117	116	81	78	29	30	25	29
		3.2	3.0	3.5	3.6	162	115
		3.2	3.0	3.5	3.6	162	115
		6.2	5.9	3.7	3.8	250	320
		6.2	5.9	3.7	3.8	250	320
		3.2	3.0	3.5	3.6	162	115
		3.2	3.0	3.5	3.6	162	115

* 在 750°C 負載 30 公斤/毫米²下鋼的耐熱強度——原注

** *d_{omn}* 系指压痕直径——譯者注

在鋼錠头部及尾部的切头及精整时，金属的平均損耗相应为 33.9 和 4.1% (精整时) 和 29.8 及 1.3% (切头时)。仅由于以阳极机械切割車床的切割来代替鋼錠的切头和切尾，就可节约金属約 7%。

郭文通譯 龔寶興校

原載《Кузнечно-штамповочное производство》1964年, 第12期,

1~5 頁